

九州大学工学部 正員 橋本 一郎  
大学院 学生員 宮武 順彦

第I報<sup>(2)</sup>で貯水池の堆砂過程について段丘部流量 $q_{0x}$ と給砂量 $q_{00}$ との配分比 $\frac{q_{0x}}{q_{00}}$ 及び堆砂面勾配 $I$ と原河床勾配 $I_*$ との比 $\frac{I}{I_*}$ 等が、粒径 $d$ 、原河床勾配 $I_*$ 及び与えられた流量 $q$ のもとに流し得る流量 $q_{0x}$ を算入して、ほぼ $\frac{q_{0x}}{q_{00}}$ によって定められることを示したが更に実験を追加してこの関係を確かめるとともに又段丘形状として2次曲線を仮定して上記の関係を算出し、加えて実際の貯水池では堆砂過程中に流量流送土砂は時間的に変化しておりその基礎的な場合として給砂量 $q_{00}$ を急増した場合の段丘の運動に關して考察を行ない堆砂過程について実用的な計算法を試みたものである。なお各種実験の要目を表Iに示した実験NOIVは給砂量 $q_{00}$ を埋没過程中に変化させたものである。

表-1 実験要目

実験番号	砂相径 $d$ (mm)	比量	流量範囲 $q$ (cm <sup>2</sup> /sec)	給砂範囲 $q_{00}$ (cm <sup>2</sup> /sec)	原河床勾配 $I_*$	堆高 $h$ (cm)	20d以内の埋没時間 $t$ (sec)	堆砂面勾配 $I$
NO I	A 0.85	2.632	372.68	0.254~1.250	1/100	10.0	4.90	43.0
	B 0.33	2.684				7.5		
NO II	A 0.85	2.632	177.7~387.0	0.187~0.577	1/100	8.6	4.90	43.0
	B 0.33	2.684	370.68~387.0	0.268~1.430		8.6		
NO III	A 0.85	2.632	372.68	0.415~1.577	1/150	5.0	4.90	43.0
	B 0.33	2.684				0.231~0.745		
NO IV	A 0.85	2.632	372.68	0.201~0.503	1/150	5.5	4.90	43.0
	B 0.33	2.684				0.258~0.524		
杉尾池	a 0.875	2.89	72.6~108.0	0.035~0.095	1/100	2.5	4.70	4.70
	b 0.844	2.63	84.5~110.5	0.033~0.057		2.5		
山崎池	a 3.3	2.66	133.3~230.0	0.090~0.228	1/50	4.0	-	-
	b 1.4	-	66.6~326.7	0.090~0.148		4.0		
	c 0.46	-	66.6~33.3	0.154~0.170	4.0	-	-	

流砂量 $q$ として有効掃流力 $u$ が算入されている式を用いる

$$\Phi = \frac{q_0}{\sqrt{s} g d^3} = K \frac{1}{2} m \left(1 - \frac{0.8 \frac{u}{u_*}}{\frac{u}{u_*}}\right) \quad (1)$$

$$\frac{u}{u_*} = \frac{h \cdot I_e}{s \cdot d} \quad \text{但し } \varphi = \frac{1}{4} u_* \quad \varphi_0 = 6.0 + 5.75 \log \frac{h}{d}$$

I<sub>e</sub>はI<sub>\*</sub>勾配 $I_e$ は $F_n=1$ とすると近似的に

$$I_e = I_* - \frac{d\theta}{2x} \quad (2)$$

1 堆砂面形状

図-1を参照して堆砂が上流に廻り出す場合について

考える。任意の時刻 $t$ における段丘形状を2次式で仮定すると $x=0, z=0, x=L, z=0$ 又段丘後部 $x=L$ で給砂量 $q_{00}$ 全部が流れ

去るから $\left(\frac{dz}{dx}\right)_{x=L} = 2a(L) + b = (I_* - I_{e0})$ 以上の条件から形状は $z = \left[\frac{I_* - I_{e0}}{2L} x^2 - \frac{2q_{00}}{L(I_* - I_{e0})} x + \frac{q_{00}}{L(I_* - I_{e0})}\right] \quad (3)$

段丘の長さ $L$ によって $t$ 時間後の段丘の肩の厚さ $z_0$ として $t$ 時間に段丘上面及び前面に堆積した量が $t$ 時間の給砂量に等

しいとすると $t$ 後の長さ $L$ は

$$\frac{q_{00}}{(1-\lambda)} \cdot t = \int_0^L (ax^2 + bx + c) dx - V_0 + \frac{1}{2} \cot \theta \cdot z_0^2$$

上式を積分して(3)式を考慮すると

$$L = \frac{-\frac{1}{2} z_0 + \sqrt{\frac{1}{4} z_0^2 + 6(I_* - I_{e0})M}}{I_* - I_{e0}} \quad \text{但し } M = \left(\frac{q_{00}}{(1-\lambda)} t + V_0 - \frac{1}{2} \cot \theta \cdot z_0^2\right) \quad (4)$$

次に図-2の如く堆砂面が途中で切れる場合についても上記と同様に

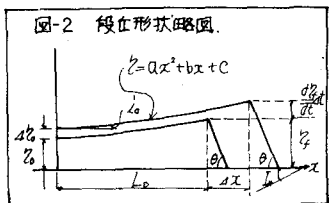
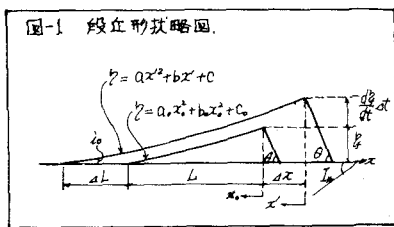
$$z = \left[\frac{3}{2} \frac{z_0}{L} - \frac{1}{4} \left(\frac{I_* - I_{e0}}{L}\right) - \frac{3}{2} \frac{M}{L}\right] x^2 + (I_* - I_{e0})x + \frac{1}{2} z_0 + \frac{1}{2} z_0 \quad (5)$$

$$L = L_0 + \Delta x \quad (5')$$

で表わされる。ここに $z_0$ は $t$ 後の段丘肩の厚さ、 $I_{e0}$ は $q_{00}$ に相当するI<sub>e</sub>勾配、 $I_*$ は原河床勾配、 $V_0$ は段丘の初期形状における単位幅当りの体積である又 $L_0$ は初期形状における段丘の長さを示す。

2 段丘部流量 $q_{0x}$ 及堆砂面勾配 $I$

流砂能力は貯水池内では背水の影さようを受ける水深が増すととも減少する従って給砂量 $q_{00}$ が与えら



れると  $q_{00} < q_{0R}$  ならば砂は流され  $q_{00} > q_{0R}$  ならば堆積を不すことになり、ブール未開行近において  $q_{00} = q_{0R}$  の處で段丘の発生が起ると考へてよい。いまこの處を段丘開始處として  $x=0$  すると時間  $t$  と位置  $x$  との関係は Exner の直線式  $\frac{dx}{dt} = \frac{q_{0R}}{V} (1-\lambda)$  が成立す。段丘流量  $q_{0R}$  は (1) 式より流量  $q$  及び水深  $h$  で書直し  $k=25$ ,  $m=2.3$  及び  $\frac{q}{h^2}$  が  $h$  に比して無視すると近似的に

$$\frac{q_{0R}}{\sqrt{5gD^3}} = 25 \left[ \frac{q^2}{5g d^2 g_0 N_f^2} \right]^{2.3} \quad (5)$$

と書け  $q$  の微小な変化を無視すると段丘水深  $h_0$  が一定の時は  $q_{0R}$  も一定となる、又  $V$  及び  $h_0$  の実測値から  $N$  が一定であることが知りれる。  $q_{0R}$  が  $x, t$  に無関係に一定になると段丘頂の軌跡はほぼ水平とみなされるから、原河床勾配  $I_x$  を用いて  $q = x I_x$  と置き、Exner の関係式を用いて段丘頂の厚さ  $h_0$  と時間  $t$  との関係は  $h_0 = \sqrt{\frac{2 I_x q_{0R}}{(1-\lambda)}} t$  となる。そこで (6) の (4) 式において段丘の発生から起ると  $t$  は 0 であり  $\frac{h_0}{L} = \frac{q_{0R}}{I_x}$  の項が  $q_{00}$  に比して小さいとして無視すると (4) 式中  $M = \frac{q_{0R}}{I_x} t$  と書けこれを用いて (4) 式より

$$\frac{h_0}{L} = \frac{(I_x - I_{x0})}{(N-1)} \quad \text{但し } N = 1 + 3 \cdot \frac{(1-\lambda)}{(1-\lambda)} \left(1 - \frac{I_{x0}}{I_x}\right) \frac{q_{0R}}{q_{0R}} \quad (6)$$

$\lambda$  は水中の空ゲキ率  $\lambda$  は Sand box 中の空ゲキ率である。段丘頂の工和比勾配  $I_{ef}$  は (3) 式より求められ (6) 式を用いて変形すると次式を得る。

$$\frac{I_{ef}}{I_{x0}} = \frac{I_x}{I_{x0}} - \left(\frac{I_x}{I_{x0}} - 1\right) \left(\frac{2}{N-1} - 1\right) \quad (7)$$

そこで  $q_{0R}$  の微小な変化を無視すると  $q_{0R}$  を導入して (1) 式より  $\frac{I_x}{I_{x0}} = \left(\frac{q_{0R}}{q_{00}}\right)^{\frac{2}{2.3}}$ ,  $\frac{I_{ef}}{I_{x0}} = \left(\frac{q_{0R}}{q_{00}}\right)^{\frac{2}{2.3}}$  となり (7) 式は

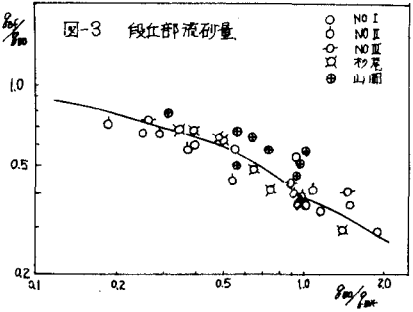
$$\left(\frac{q_{0R}}{q_{00}}\right)^{\frac{2}{2.3}} = \left(\frac{q_{0R}}{q_{00}}\right)^{\frac{2}{2.3}} - \left[\left(\frac{q_{0R}}{q_{00}}\right)^{\frac{2}{2.3}} - 1\right] \left[\frac{2}{N-1} - 1\right]$$

但し  $N = 1 + 3.36 \left[1 - \left(\frac{q_{0R}}{q_{0R}}\right)^{\frac{2}{2.3}}\right] \frac{q_{0R}}{q_{0R}} \quad (8)$

又  $q_{00} \geq q_{0R}$  ならば近似的に  $I_x = I_{x0}$  と考えられるから (3) 式より  $I_{ef}$  は  $I_{ef} = I_x - \frac{2q}{L}$  となり前述と同様にして次式を得る。

$$\frac{q_{0R}}{q_{00}} = \left(\frac{q_{0R}}{q_{00}}\right) \left[1.19 \frac{q_{0R}}{q_{00}}\right]^{\frac{2}{2.3}} \quad (9)$$

上式を計算した結果を図-3 に実線と示した。図-3 は  $\frac{q_{0R}}{q_{00}}$  の実測値を杉屋山岡教授の資料とプロットしたもので明らかに  $\frac{q_{0R}}{q_{00}}$  が増すと  $\frac{q_{0R}}{q_{00}}$  は減少し粘砂のうち buck sand の波及に消滅される砂量の割合が増してゆくことと示してゐる。



堆砂面勾配について、今段丘頂勾配  $I_{ef}$  が代表させること

にすると (3) 式より  $I_{ef}$  を求め (6) 式を考慮すると  $I_{ef}$  に  $\frac{2q}{L}$  を代入して  $I_{ef} = I_x - \frac{2q}{L} = I_x - (I_x - I_{x0}) \left(\frac{2 - \sqrt{N}}{\sqrt{N} - 1}\right)$  が得られ  $q_{0R}$  を導入して

$$\frac{I_{ef}}{I_x} = 1 - \left[1 - \left(\frac{q_{0R}}{q_{00}}\right)^{\frac{2}{2.3}}\right] \left(\frac{2 - \sqrt{N}}{\sqrt{N} - 1}\right) \quad (10)$$

但し  $N = 1 + 3.36 \left[1 - \left(\frac{q_{0R}}{q_{00}}\right)^{\frac{2}{2.3}}\right] \frac{q_{0R}}{q_{0R}}$

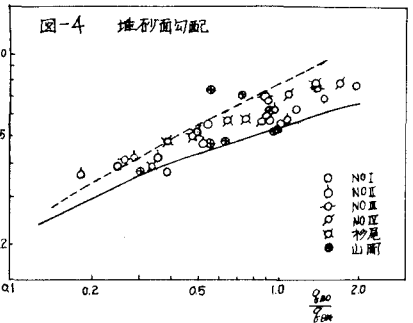
$$\left(\frac{q_{0R}}{q_{00}}\right)^{\frac{2}{2.3}} \left(\frac{q_{0R}}{q_{00}}\right)^{\frac{2}{2.3}} = \left[\left(\frac{q_{0R}}{q_{00}}\right)^{\frac{2}{2.3}} - 1\right] \left(\frac{2 - \sqrt{N}}{\sqrt{N} - 1} - 1\right)$$

又  $q_{00} \geq q_{0R}$  ならば前述と同様にして結果は

$$\frac{I_{ef}}{I_x} = 1 - 1.19 \frac{q_{0R}}{q_{00}} = f\left(\frac{q_{0R}}{q_{00}}\right) \quad (11)$$

但し  $q_{0R} = \left(\frac{q_{0R}}{q_{00}}\right) \left(1 - 1.19 \frac{q_{0R}}{q_{00}}\right)^{\frac{2}{2.3}}$

上式を解いた結果を図-4 の実線と示した。そこで堆砂面の平均勾配の面からみると、段丘頂における流砂量は  $q_{0R}$ 、段丘後端における流砂量は  $q_{00}$  であるから平均的には堆砂面の上に  $\frac{1}{2}(q_{0R} + q_{00})$  の流砂量があることとみなされる。従つて流砂量式 (1) は  $I_x$  のもとで流し得る流砂量  $q_{0R}$  を導入して



$$\frac{1}{2}(q_{0f} + q_{0o}) = 25\sqrt{5g d^3} \left[ \frac{q^{\frac{1}{2}}(I_p - I_m q)}{5 \frac{g}{d} q_0} \right]^{2/3} = q_{0f} \left( \frac{I_p}{I_m} \right)^{1.5/3}$$

こゝに  $I_m$  は堆砂面上の勾配と式より

$$\frac{I_p}{I_m} = \left[ \frac{1}{2} \frac{q_{0o}}{q_{0f}} (1 - \frac{q_{0f}}{q_{0o}}) \right]^{3/2} \quad \text{但し } \frac{q_{0f}}{q_{0o}} = f \left( \frac{q_{0f}}{q_{0o}} \right) \text{ と与えられる。} \quad (12)$$

上式を解いた結果を図4の破線とした。図4は  $I_p$  の実験値を杉尾山岡教授の資料としてプロットしたもので (10)(11) 式の曲線がやや下向きにあるのは実験値がほぼ平均値に等しい値とせずとも考えられ、明らかに  $q_{0f}$  が増すとともに  $I_p$  も増加する事を示している。故に図中の実験値は堤に到達した時の値を用いてプロットしたものである以上、流量配分  $q_{0o}$  は  $q_{0f}$  等からほぼ  $q_{0o}$  が求まることと示された。

### 3 流量を急増させた場合における段丘の進行と背砂の計算

段丘肩に注目して段丘肩の厚さを  $h$ 、空陥率を  $\lambda$  とし、段丘前進速度  $U = \frac{dh}{dt}$  は Exner の測深式より近似的に

$$U = \frac{q_{0f}}{(1-\lambda)h} \quad (3-1)$$

芦田教授等によれば段丘肩の基準面に対する運動方向角  $\theta$  は  $\theta = \frac{1}{L} \left( \frac{q_{0f}}{q_{0o}} \right)_f + \left( \frac{dh}{dx} \right)_f$  と与えられる。本文では  $\left( \frac{dh}{dx} \right)_f$  について段丘肩では流量  $q_{0f}$ 、段丘後端では供給流量  $q_{0o}$  が流れているとして、流量の連続式を積分した型の段丘首面における平均値を用いることにすると近似的に  $\left( \frac{dh}{dx} \right)_f = \left( \frac{dh}{dx} \right)_m = \frac{q_0(I_{0o} - q_{0f})}{(1-\lambda)L}$  となり更に (3-1) 式を考慮すると、段丘の長さを  $L$  と  $\lambda$  を correction term とし、

$$\theta = \frac{q_{0o}}{q_{0f}} \left( 1 - \frac{q_{0f}}{q_{0o}} \right) \frac{h}{L} + \left( \frac{dh}{dx} \right)_f \quad (3-2)$$

こゝで添字  $f$  は段丘肩における値を示す。

次に背砂の掘進速度  $\frac{dV}{dt}$  について (図-1) を参照して段丘肩が  $dx$  だけ進んだ時、 $dt$  時間に段丘後端が  $L$  だけと流側に伸びるとすると、(1)  $dx$  時間内に給砂した砂が  $dt$  時間の間に段丘上面及び前面に体積し得るものと仮定すると次式が成立つ

$$\frac{q_{0o}}{(1-\lambda)} \cdot dx = \int_{(L+dx)}^0 (ax^2 + bx + c) dx + \frac{(V_0 + \frac{dV}{dt} dt) \cot \theta}{2} - \left[ \int_{-L}^0 (a_0 x^2 + b_0 x + c_0) dx + \frac{V_0 \cot \theta}{2} \right] \quad (3-3)$$

こゝに  $\theta$  は水中の砂の安息角、 $a, b, c$  は初期形状における係数、 $a_0, b_0, c_0$  は  $dt$  後の形状係数である。即ち

$$\begin{aligned} a_0 &= \left( \frac{q_0}{L} - i_0 \right) \frac{1}{L} & a &= \left[ \left( q_0 + \frac{dV}{dt} dt \right) - i_0 (L + L + dx) \right] / (L + L + dx)^2 \\ b_0 &= \left( \frac{2q_0}{L} - i_0 \right) & b &= 2 \left[ q_0 + \frac{dV}{dt} dt \right] / (L + L + dx) - i_0 \\ c_0 &= \left( \frac{q_0}{L} \right) & c &= \left( q_0 + \frac{dV}{dt} dt \right) \quad \text{但し } i_0 = I_p - I_{0o} \end{aligned}$$

従つて (3-3) 式を積分して上式の関係式代入し、(3-1) 式を考慮して、更に  $dx$  及び  $dx/L$  に関する高次項を無視し又  $\frac{dV}{dt}$  の項が  $\frac{q_{0o}}{(1-\lambda)}$  に比して小さいとすると近似的に段丘の長さ  $L$  について

$$\frac{dL}{dt} = \left[ \frac{3q_0}{(1-\lambda)L} - \frac{q_{0o}}{q_{0f}} - 1 \right] \cdot U \quad (3-4)$$

と書け進行速度  $U$  に比例して段丘後端の掘進も増大する。(3-4) 式の微分方程式の型点と無視される項が多いため、实用的に  $dt$  後の段丘の厚さを  $h$  とし、 $dt$  後の段丘の長さを (4) 式で求める。

$$L = \frac{-h_0 + \sqrt{h_0^2 + 6(I_p - I_{0o})M}}{(I_p - I_{0o})} \quad \text{但し } M = \left( \frac{q_{0o}}{(1-\lambda)} \cdot dt + V_0 - \frac{h_0^2 \cot \theta}{2} \right) \quad (3-5)$$

又任意時刻  $t$  における段丘部流量  $q_{0f}$  は (1) 式より  $k=25, m=23$  による  $q_0$  が  $h_0$  に代して無視して近似的に

$$q_{0f} = 25\sqrt{5g d^3} \left[ \frac{q^{\frac{1}{2}}(I_p - I_m q)}{5 \frac{g}{d} q_0} \cdot (I_p - \left( \frac{dV}{dt} \right)_f) \right]^{2/3} \quad (3-6)$$

と書け  $h_0$  を求める。以上の  $U, \theta, L, q_0$  の各式を用いて段丘肩の軌跡及び  $dt$  形状を求める任意の時刻  $t$  の形状は (3) 式で与えられるが、段丘肩の  $\left( \frac{dh}{dx} \right)_f$  の値も解かることになる。

上記の諸式を用いて計算を試みると、まず初期形状を埋設過程中給砂量  $q_{0o}$  が変化する直前に求めた  $t=0$

とする。\$t\$ 間において \$t=0\$ から \$t\$ 間は (\$\theta\_0, \theta\_f, \theta\_f\$) として時刻の最初の値を用いることにするとこれらは \$t\$ 間である。新しく変化した \$q\_{00}\$ (給砂量) が与えられると (1) 式により \$q\_{00}\$ に相当する \$I\_0\$ を求める。この \$I\_0\$ を用いて \$t\$ 間の進行角度 \$\theta\$ の \$\theta\$ を求め \$q\_{00}\$ としては急増した給砂量 \$q\_{00}\$ と用いると (2-2) より \$\theta\$ が解ける。従って (3-1) (3-2) 式に \$F\$ を \$t\$ 時間後の傾丘の肩の位置は \$I\_0\$ を \$I\_0\$ が解ける (2) 式により形状が求められる。\$t\$ 後の形状が解けると (3-6) 式により \$t\$ 時間後の \$q\_{00}\$ を求める。\$t \rightarrow 2t\$ においては順次 \$q\_{00}\$ に応じて上記の手順で計算を繰返すことにはなる。ここではその際傾丘の長さ \$L\$ は (2-5) 式によった。

以上の計算方法をもとに給砂量を 2~3 倍に変化させた実験 No. IV-1, 2 の実験について計算を行った。(図-5) は実験 No. IV の \$L\$ について計算値と実験値を示した。又 (図-6) は No. IV-2 の計算値と実験値を比較したものである。なお図-5 の No. IV-1 は傾丘の背面が土流に及ぶ場合、No. IV-2 は傾丘背面が途中で切れる場合のものでこの場合には (図-2) のように給砂量の増減を \$I\_0\$ を求めるのが加わることになる。これは (3) 式により求められる。図からも明らかなに計算結果と実験値はほぼよく一致している。

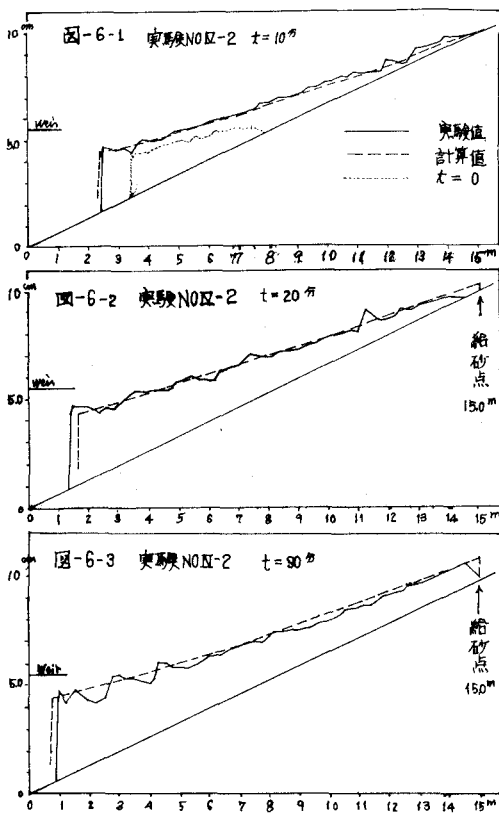


図-6. 計算値と実験値との比較(実験No. IV-2)

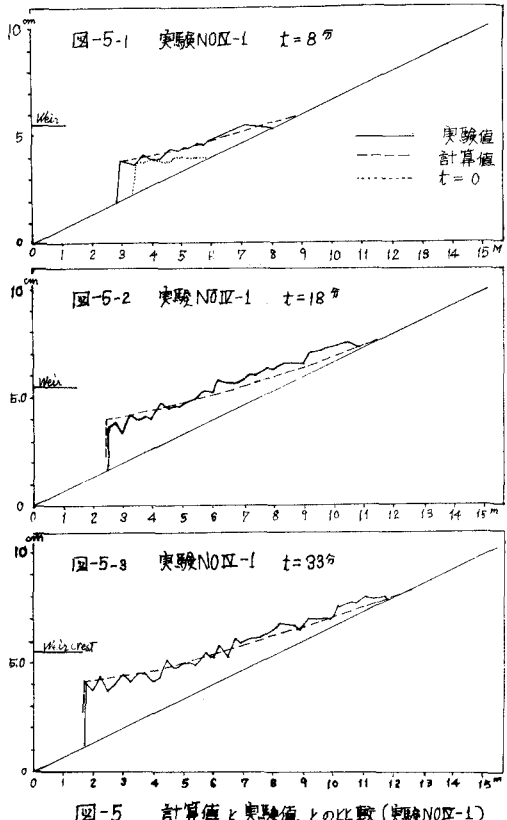


図-5. 計算値と実験値との比較(実験No. IV-1)

- 1) 矢野, 佐藤, 田, 「20 倍砂利の用可石可流」, 京大防災研年報第 6 号 (1962)
- 2) 橋, 堀, 佐武, 「貯水池の堆砂直径 10-11」, 第 21 回年次講演集 (1966)